

Fig. 1

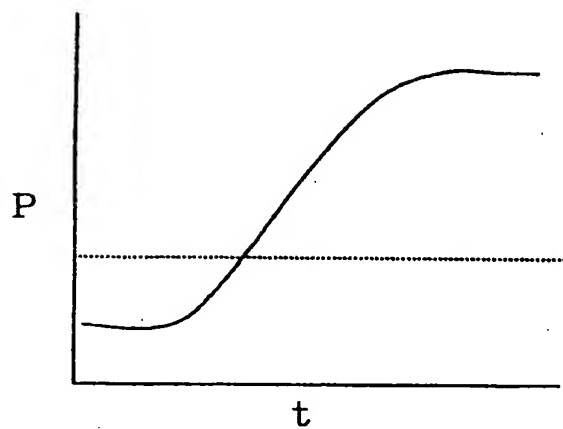


Fig. 2

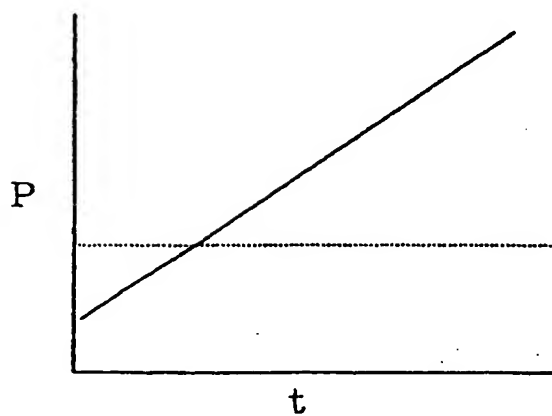


Fig. 3

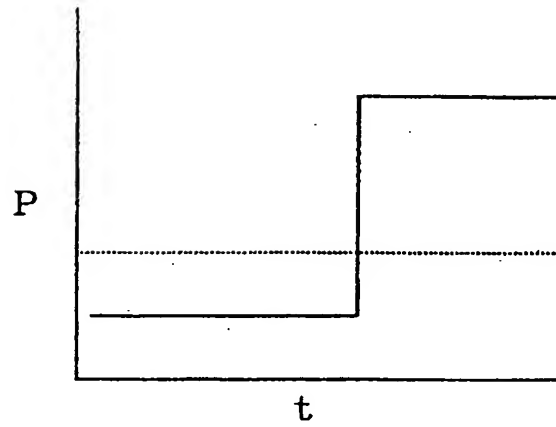


Fig. 4

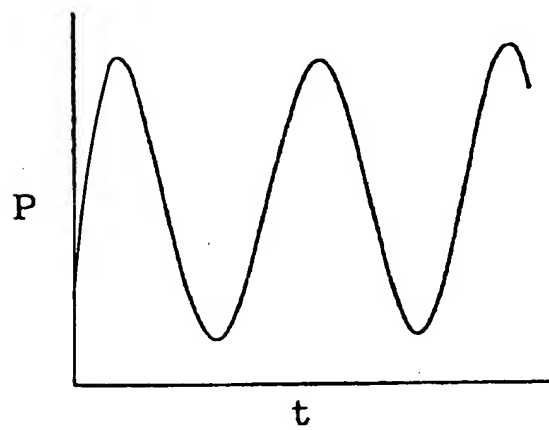


Fig. 5

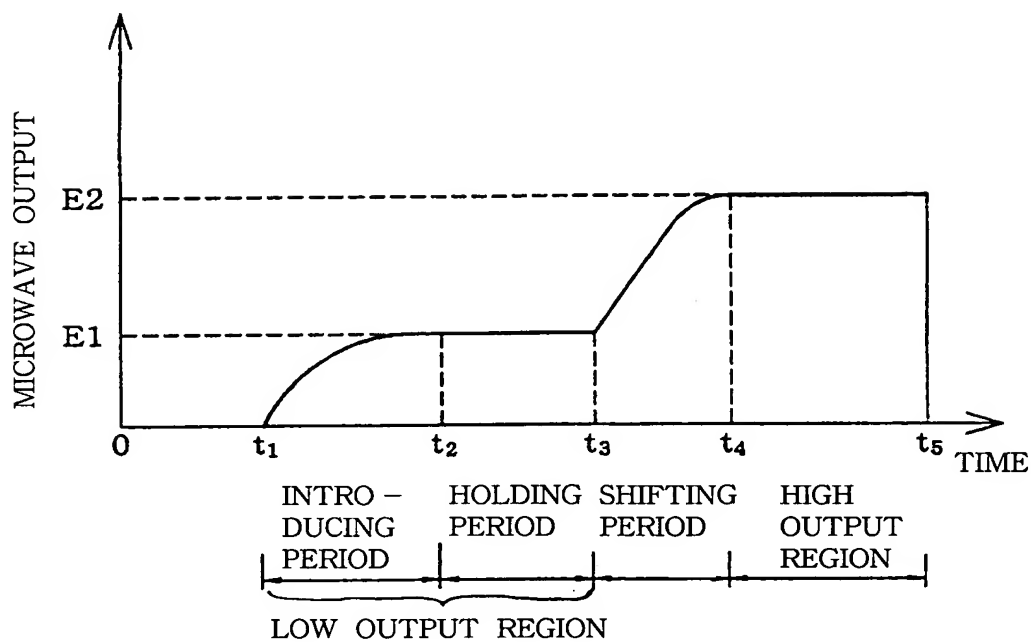


Fig. 6

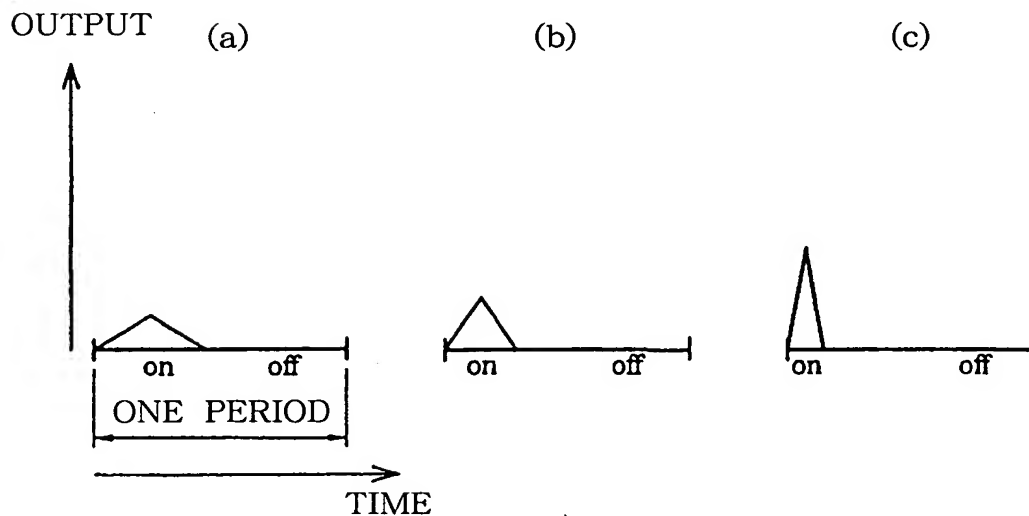
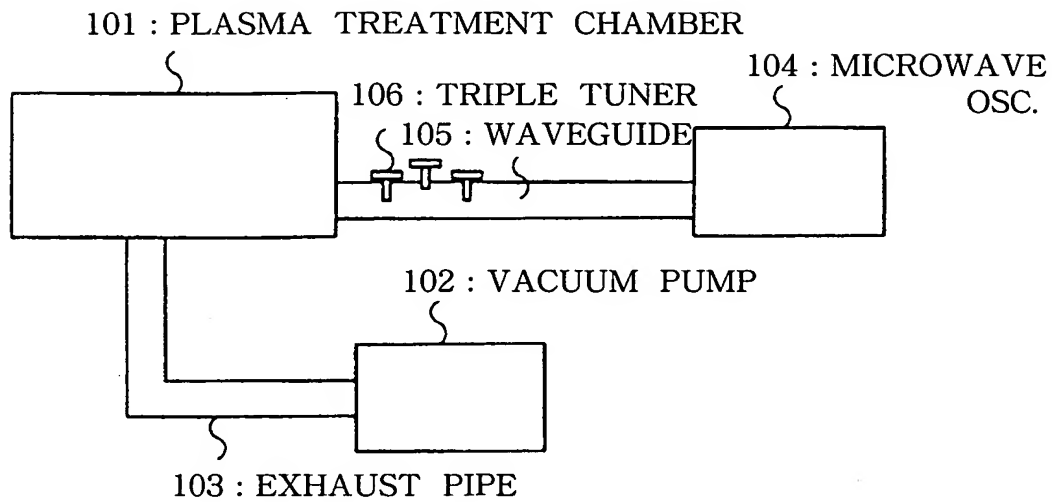


Fig. 7



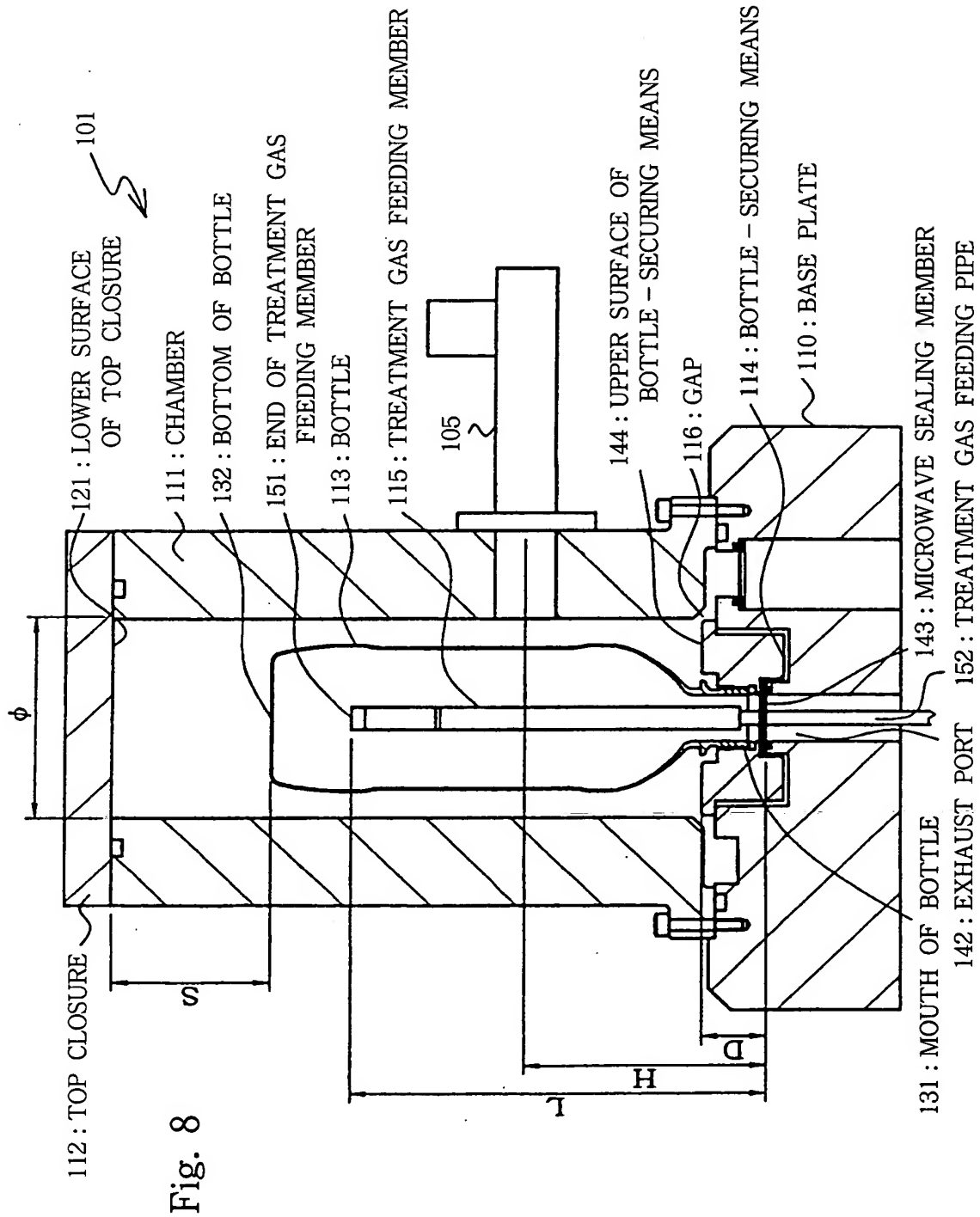
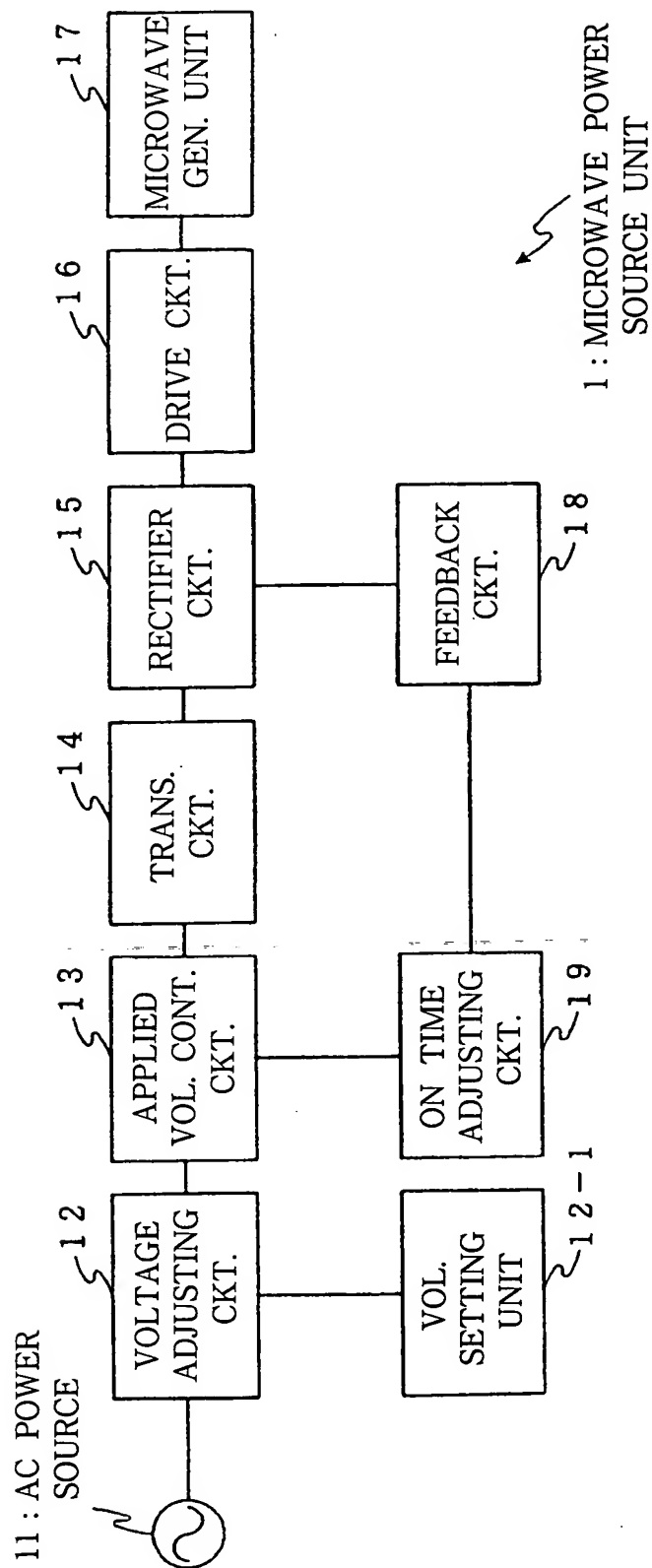


Fig. 9



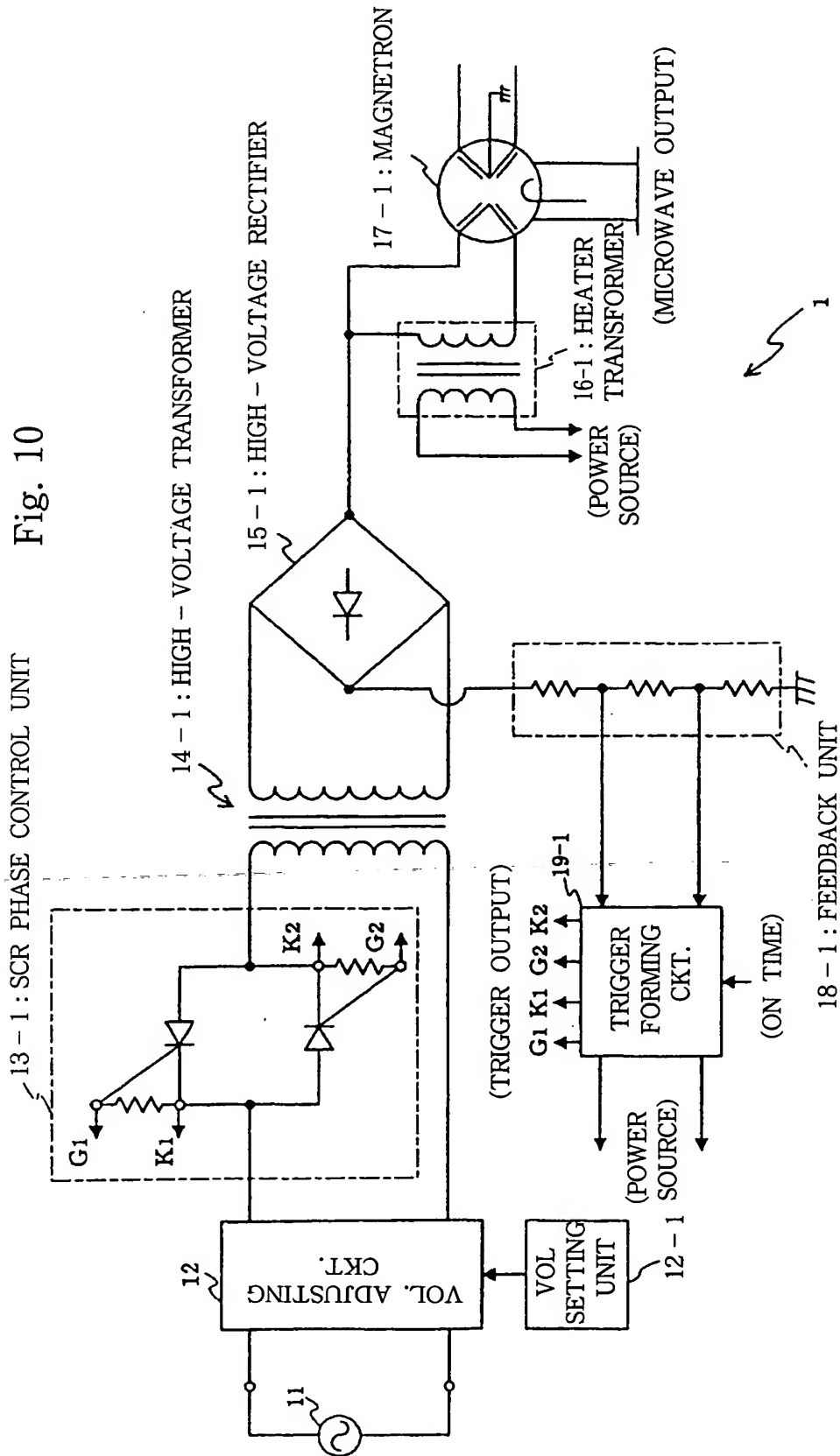


Fig. 11

19-13: TOULON'S PHASE SHIFT CIRCUIT

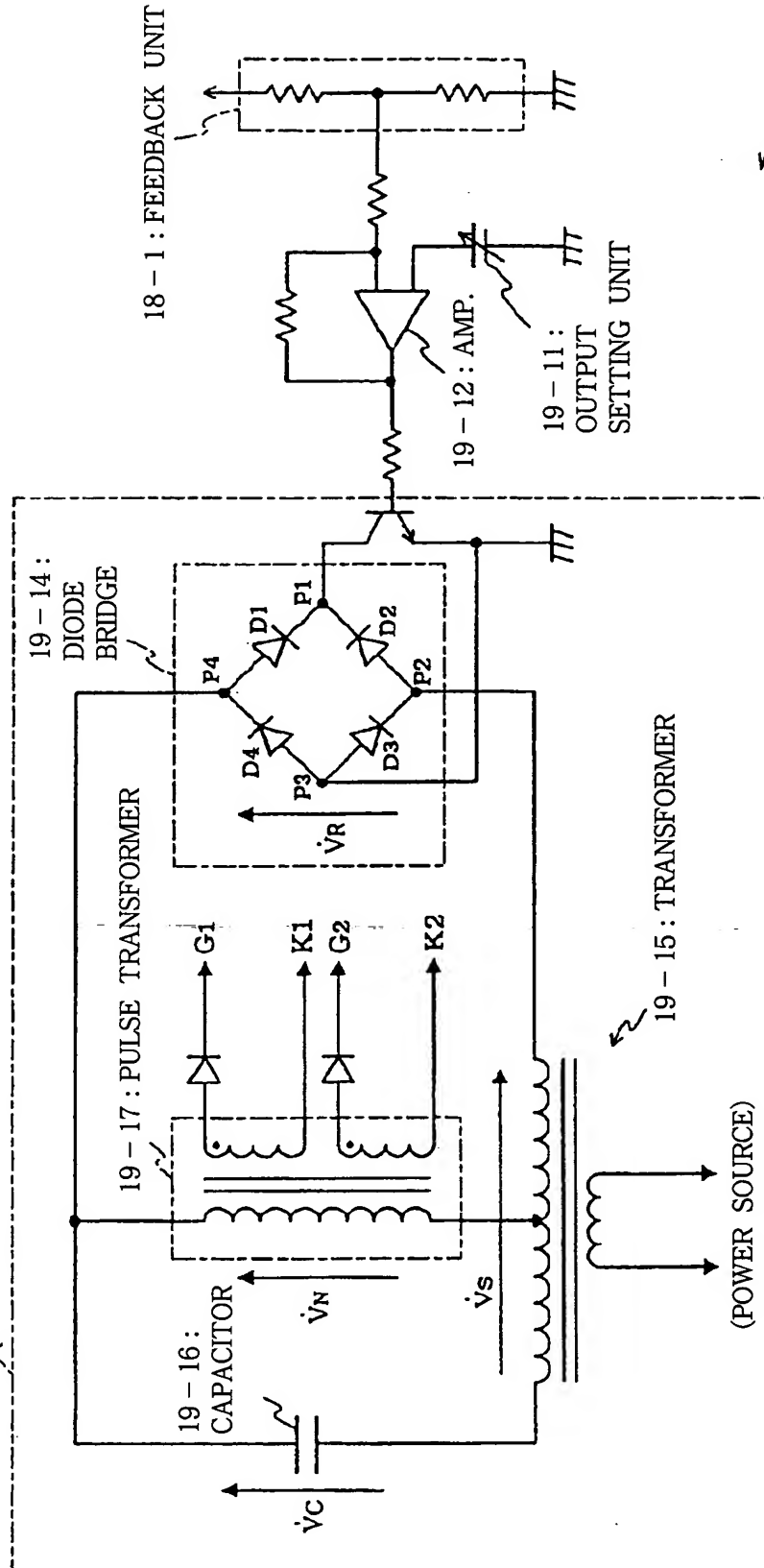




Fig. 12

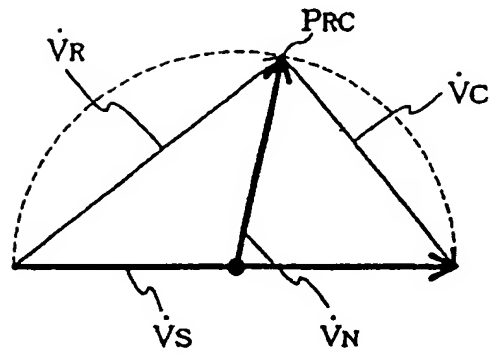


Fig. 13

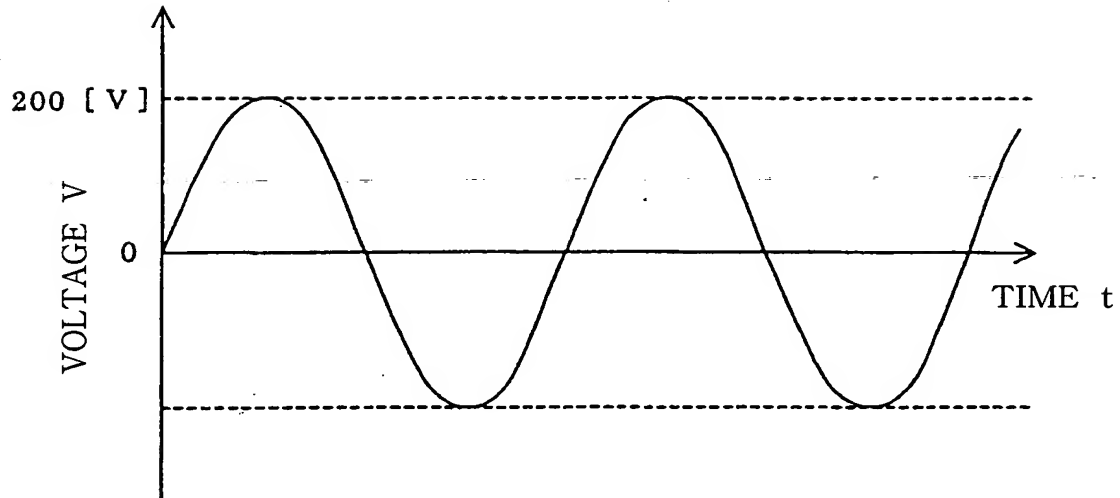


Fig. 14

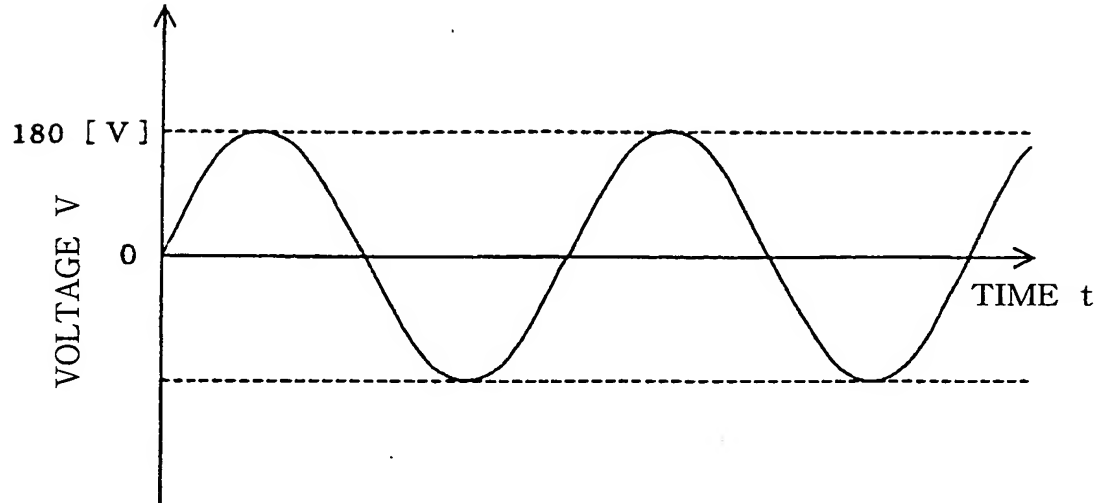


Fig. 15

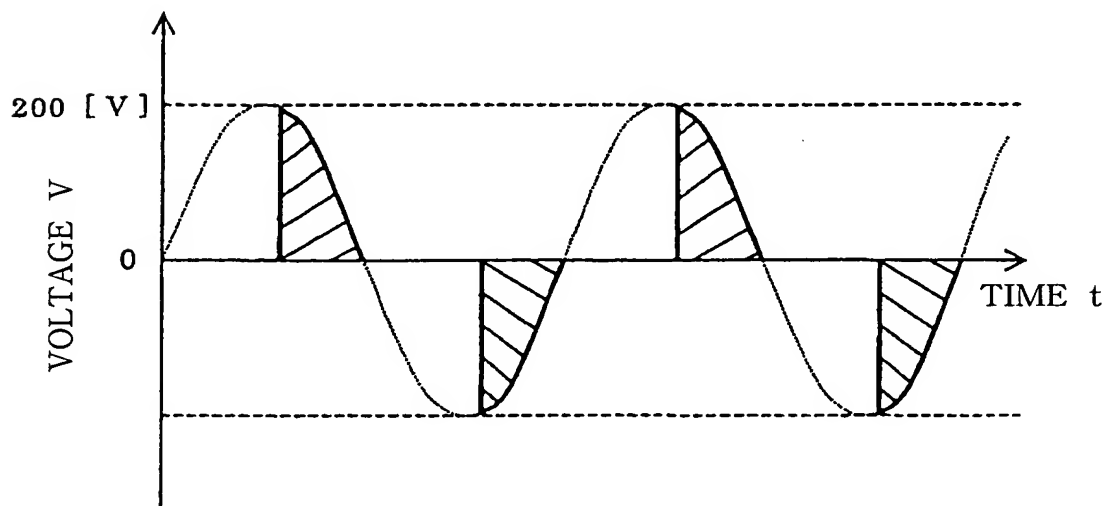


Fig. 16

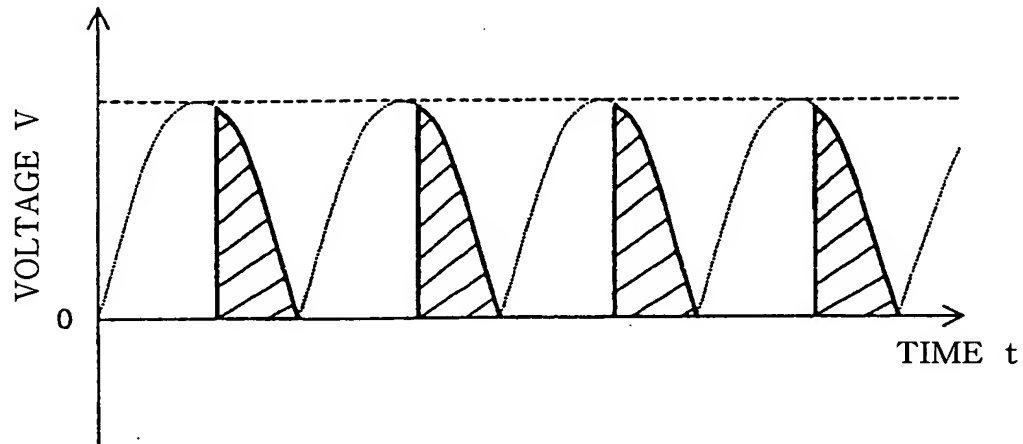
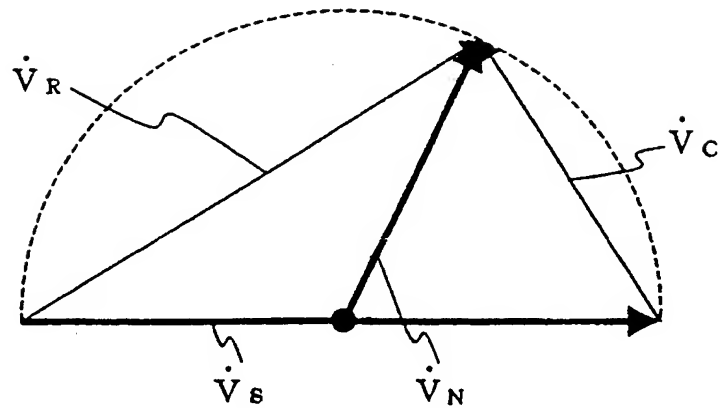


Fig. 17

(a)



(b)

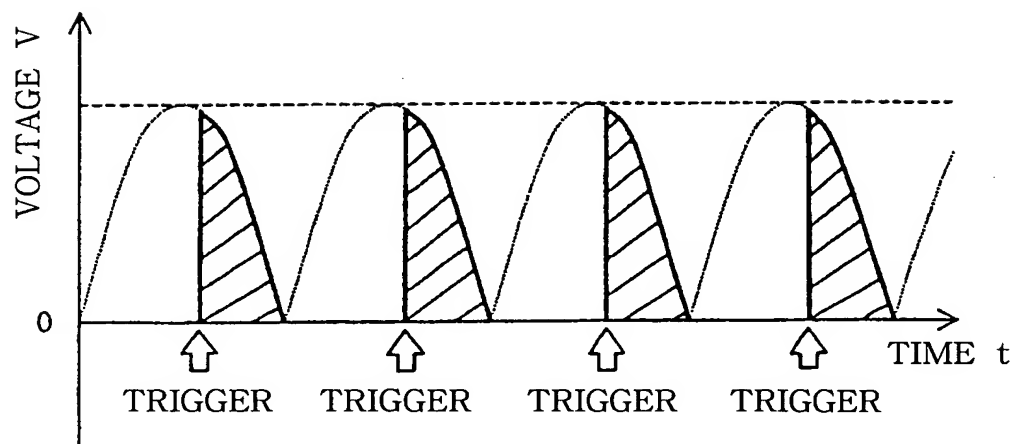
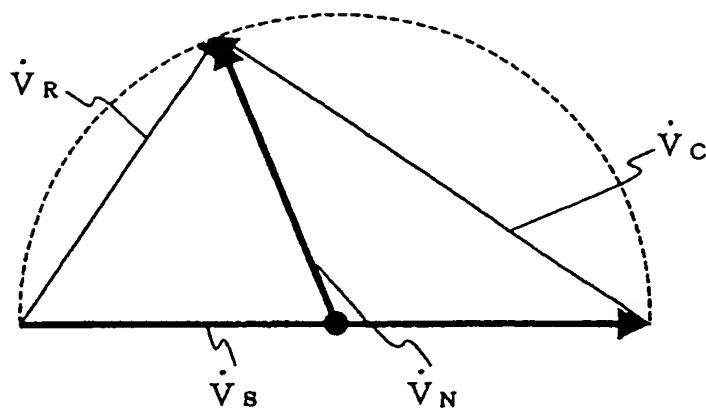


Fig. 18

(a)



(b)

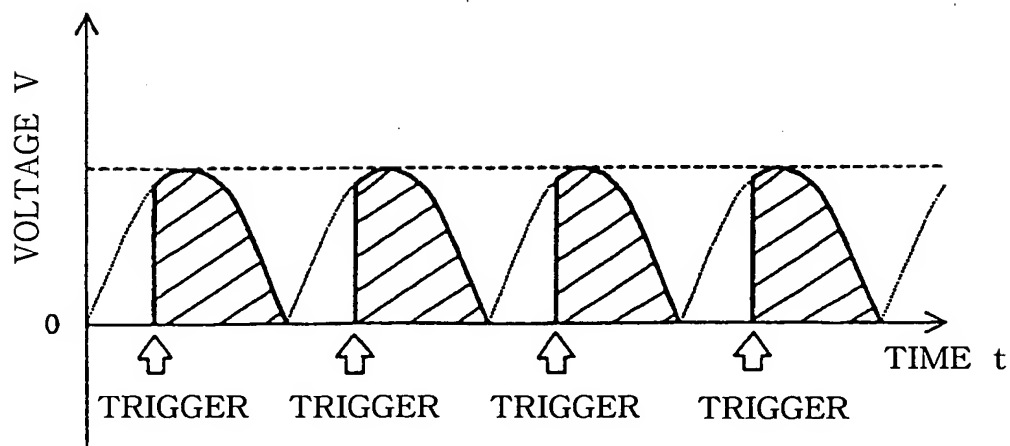


Fig. 19

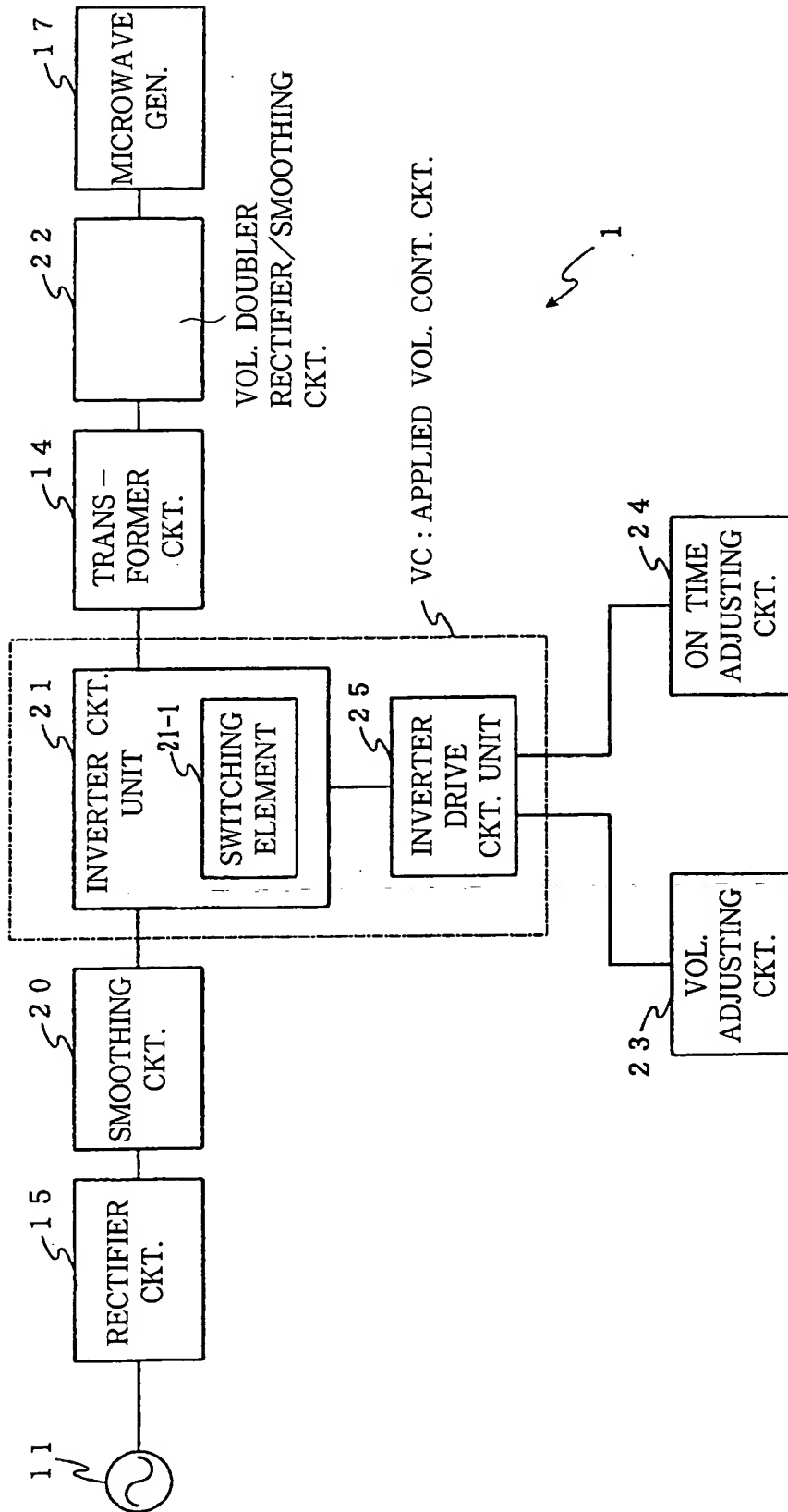
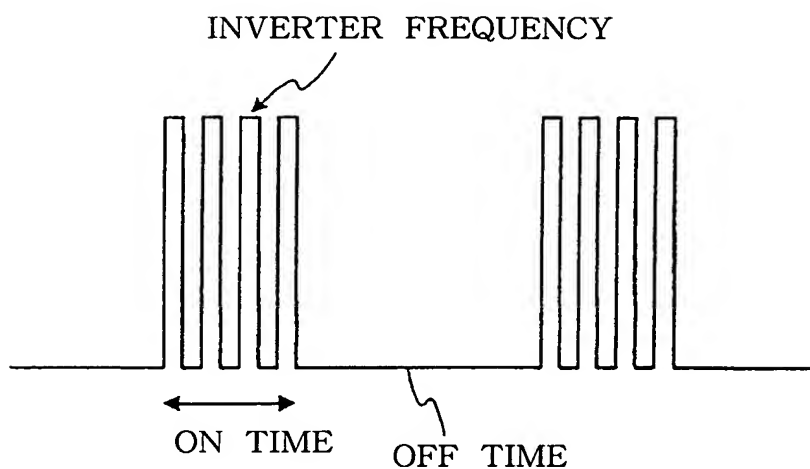


Fig. 20



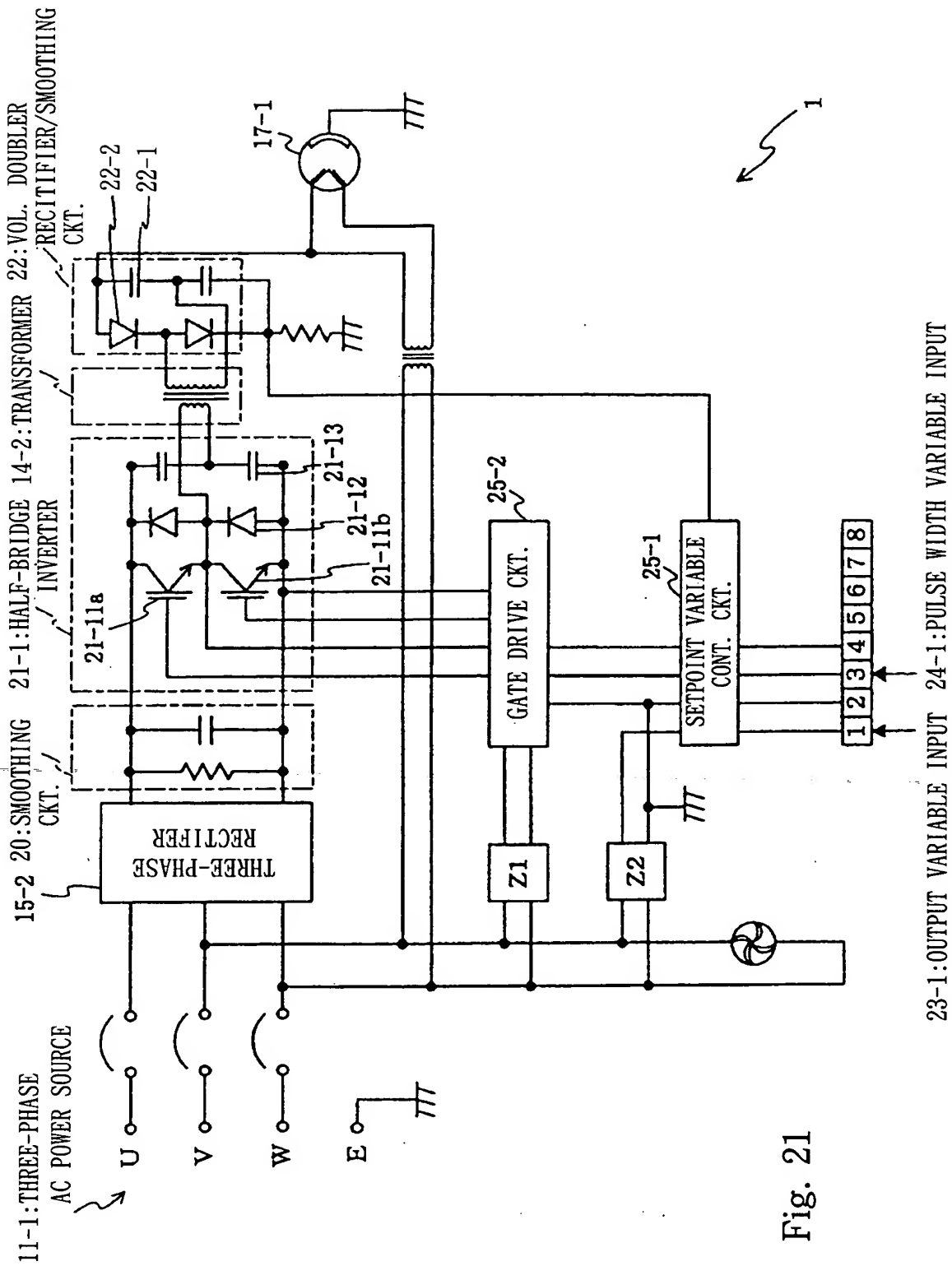


Fig. 21



10/530359

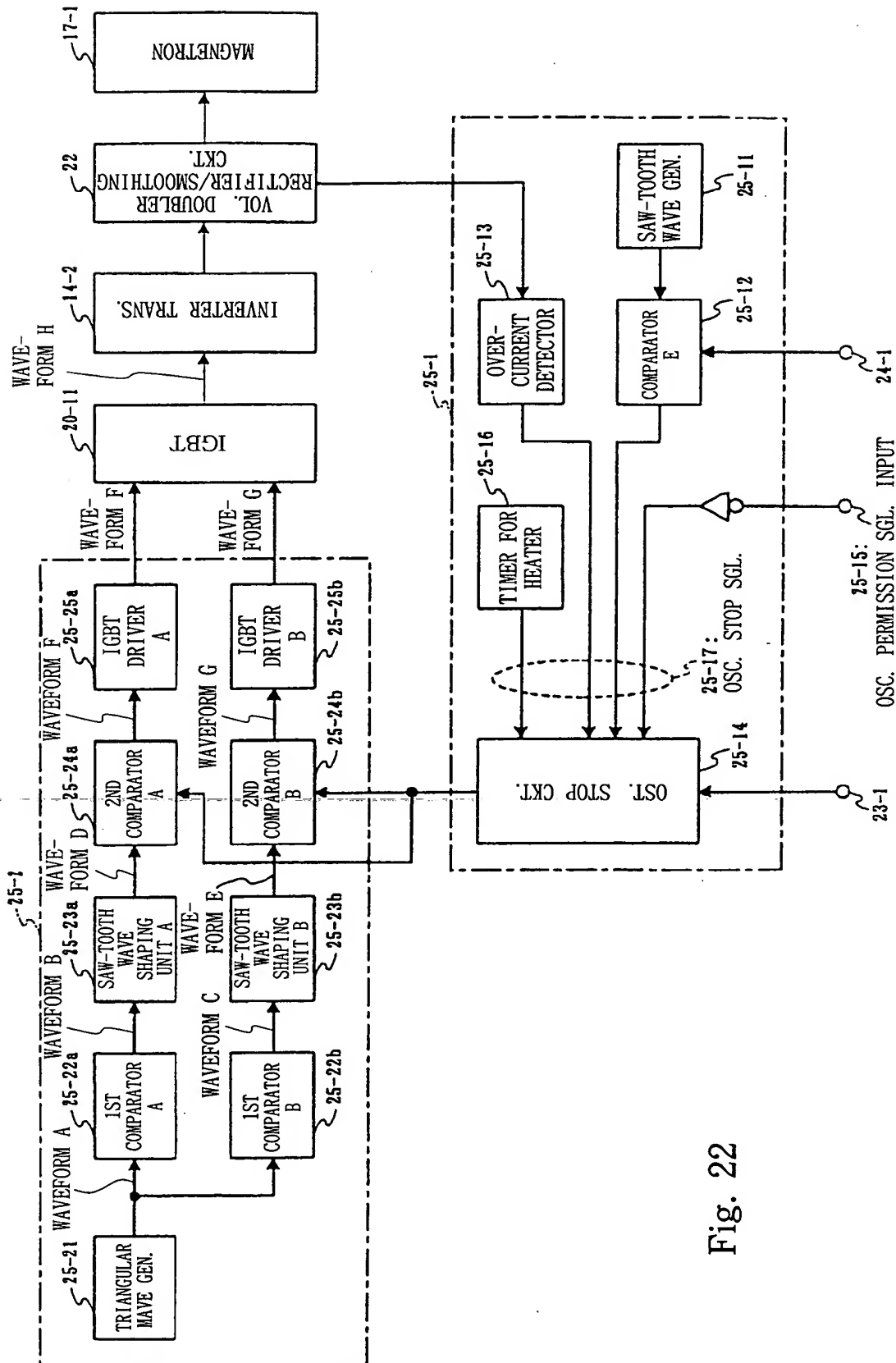


Fig. 22

Fig. 23

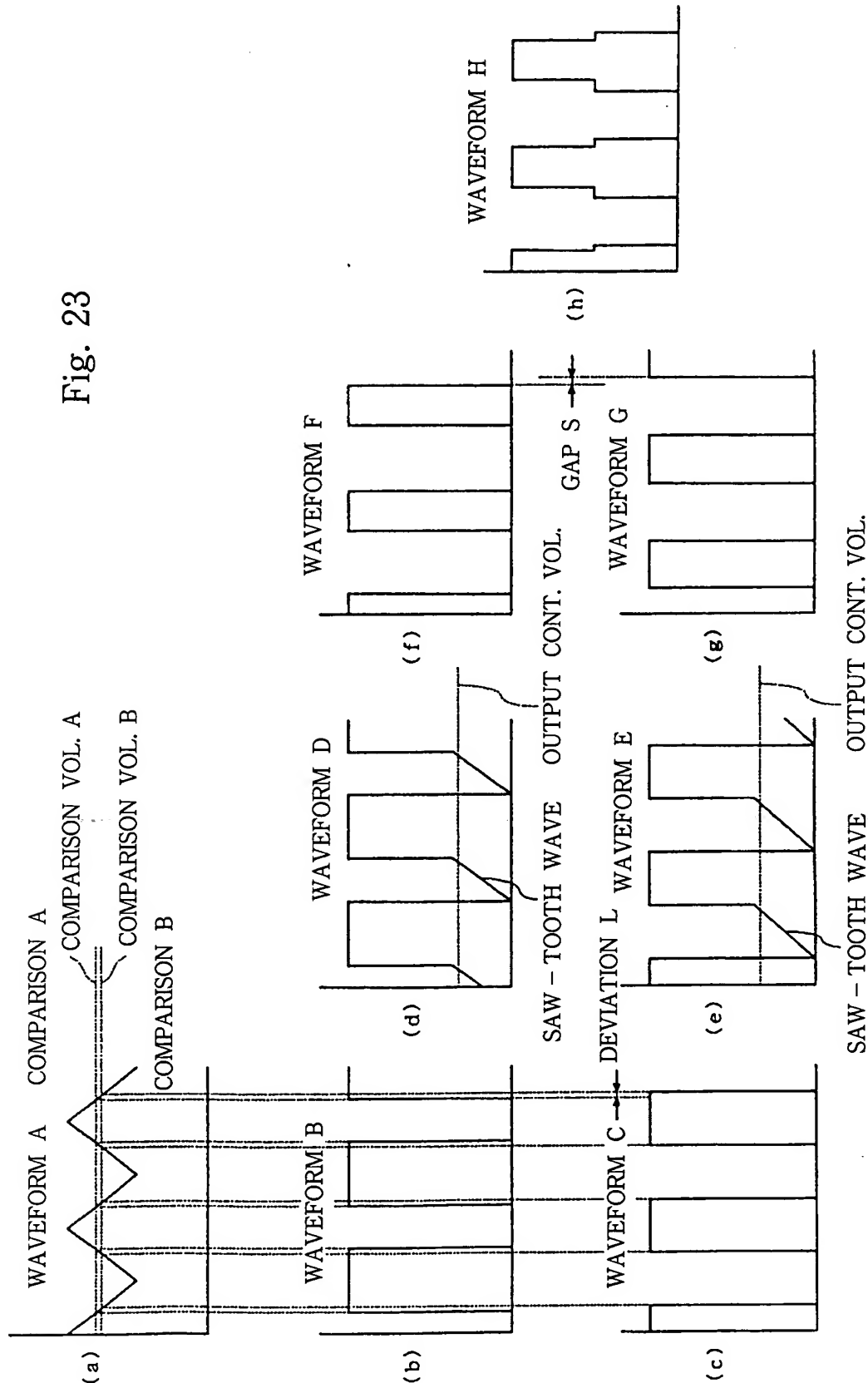


Fig. 24

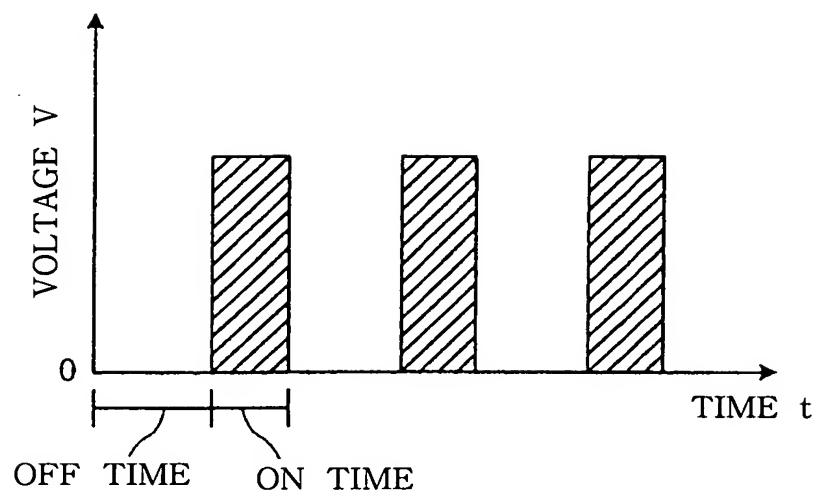


Fig. 25

